

宇宙地球科学 I (第五回目)

大気・海洋

東京大学総合文化研究科：
小宮 剛 準教授
2014/11/6

②他の地球型惑星の大気の組成

	成分	濃度 (bars)	存在比 (%)
金星 (Venus)	CO ₂	86.4	96
	N ₂	3.2	3.5
	H ₂ O	0.009	1×10 ⁻²
90 bar	Ar	0.0063	7×10 ⁻³
地球 (Earth)	N ₂	78	77
	O ₂	21	21
	H ₂ O	0.01	1
1 bar	Ar	0.0094	0.93
	CO ₂	3.55×10 ⁻⁴	3.5×10 ⁻⁴
火星 (Mars)	CO ₂	0.0062	95
	N ₂	0.00018	2.7
	Ar	0.00010	1.6
6~8×10 ⁻³ bar	H ₂ O	3.9×10 ⁻⁷	6×10 ⁻³
	CO, O ₂ , CH ₄	<1	
水星 (Mercury)	K	31.7(太陽風 + 岩石衝突)	
	Na	24.9(太陽風 + 岩石衝突)	
	O	9.5(太陽風 + 岩石反応)	
10 ⁻⁵ bar	Ar	7	
	He	5.9(太陽風, solar wind)	
	O ₂	5.6(太陽風 + 岩石反応)	

他の惑星はCO₂が多い。

(2) 大気の組成

① 地球大気の組成

成分	分子量	容積存在比 (ppmv)	地表における乾燥大気組成比	
			増加率	平均滞留時間
N ₂	28.01	780800		2×10 ⁷ 年
O ₂	32	209500		2200 年
Ar	39.94	9340		
CO ₂	44.01	360	增加率 年 0.4%	4 年
Ne	20.18	18		
He	4.00	5.2		
CH ₄	16.05	1.8	增加率 年 1.0%	12 年
Kr	83.80	1.1		
H ₂	2.02	0.5		2 年
N ₂ O	44.02	0.3	增加率 年 0.2%	114 年
CO	28.01	0.1	変動大	0.1 年
Xe	131.29	0.09		
O ₃	48.00	0.03	変動大	数日~数週間
H ₂ O	18.02	1000~30000	変動大	

(1) 地球の大気構造

熱圏

④ 太陽の紫外放射による電離・解離による加熱：高度ほど高温

⑤ 重力的に成層

中間圏

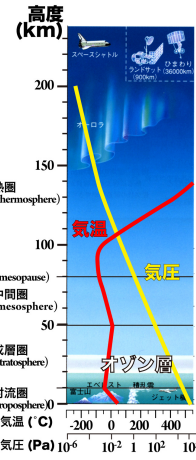
⑥ O₃の紫外吸光による加熱とCO₂, H₂O等による赤外放射冷却
成層圏: 高度25~50km付近の温度極大まで。

⑦ O₃の紫外放射吸収加熱とCO₂, H₂O, O₃の赤外放射冷却

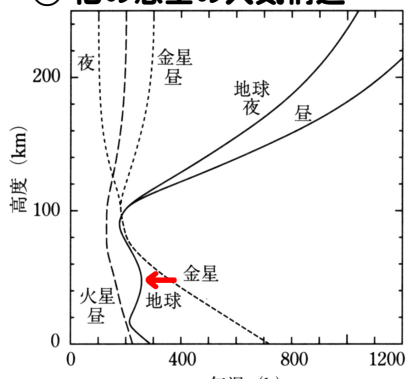
⑧ O₃の主要部は成層圏にあり、その中心は中緯度で25km付近
対流圏: 高度15km付近に現れる最初の温度極小まで。

⑨ 温度(密度)的に不安定

⑩ 圏界面は赤道(17)極域(8km)



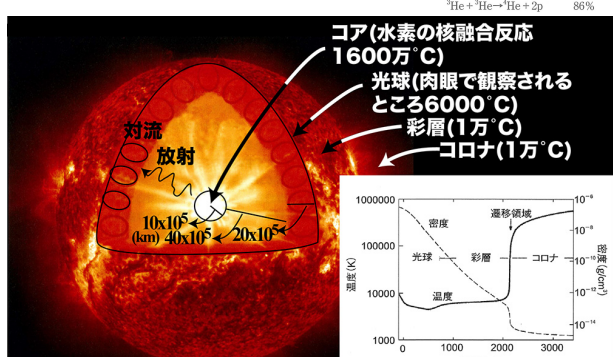
② 他の惑星の大気構造



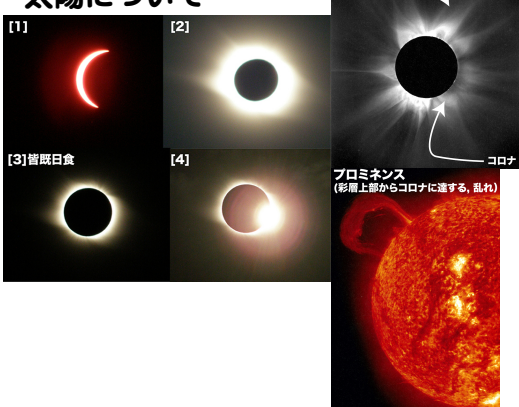
地球型惑星大気温度構造の模式図

他の惑星にはオゾン層が無い。
→成層圏上部や中間圏下部の高温域はオゾン層による吸収による為、この部分は地球特有の特徴である。

太陽について



太陽について

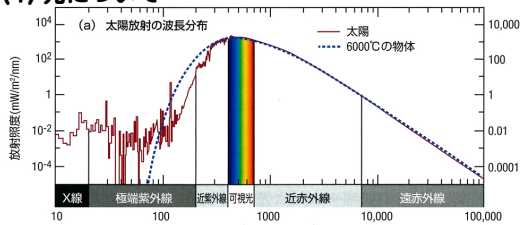


太陽から放出されるもの。

(1) 光や熱

(2) 太陽風(陽子, 中性子, 電子, イオンでできた粒子流)

(1) 光について



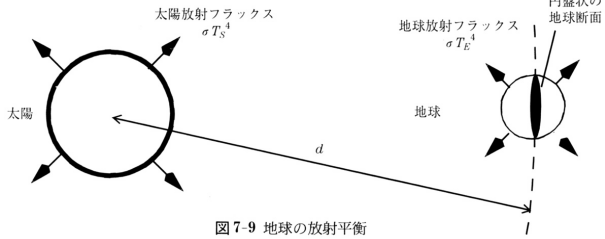
太陽放射スペクトル
大気外~6000Kの黒体
輻射スペクトルに近似→可視光の所にピーク

太陽定数(F_s)：

太陽からどれくらいのエネルギー(全ての波長の光)が地球にもたらされているか。

三太陽放射量

→ 1370 W/m² (球状なので343 W/m²)



(5)練習問題①

① 地球の有効温度(放射平衡温度)を計算せよ。ただし、地球全体のアルベド(A)を0.28とする。有効温度とは宇宙から見た時の地球の黒体輻射温度。

解答:

* 地球への全入射太陽エネルギーは $\pi R_E^2 F_s$ 。アルベドを考慮し、地球表面に達する単位表面積あたりのエネルギーは $F_s(1-A)/4$

* 有効温度を T_E とすると、黒体輻射を仮定して、 σT_E^4

* 地球表面に入射するエネルギーと放射エネルギーが釣り合っているとすると

$$F_s(1-A)/4 = \sigma T_E^4, T_E = [F_s(1-A)/4\sigma]^{1/4} = 257K$$

太陽定数(F_s)とは

黒体輻射を考えると
太陽が放射するエネルギーは
 $E_s = \sigma T_s^4 (J/m^2)$

太陽全体からの放射エネルギー

$$E_s = 4\pi R_s^2 \sigma T_s^4$$

T_s : 太陽の黒体輻射の温度(5770 K)

ステファン・ボルツマン定数: $\sigma = 2\pi^5 k^4 / 15 c^2 h^3 = 5.67 \times 10^{-8} (W/m^2 K^4)$

プランク定数: $h = 6.63 \times 10^{-34} Js$, ボルツマン定数: $k = 1.38 \times 10^{-23} J/K$

R_s : 太陽の半径 ~ $7 \times 10^8 km$, d : 太陽と地球の距離 $1.5 \times 10^8 km$

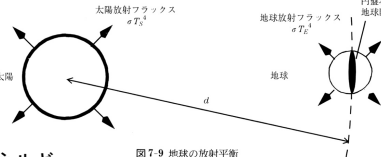


図 7-9 地球の放射平衡

地球への放射エネルギー(F_s 5770Kに相当)

$$F_s = E_s / 4\pi d^2 = 4\pi R_s^2 \sigma T_s^4 / 4\pi d^2 = \sigma T_s^4 R_s^2 / d^2 = 1370 W/m^2$$

地球への全入射エネルギー: $\pi R_E^2 F_s$

単位表面積あたり $\pi R_E^2 F_s / 4\pi R_E^2 = F_s / 4$

地球の散乱断面積: πR_E^2 , R_E : 地球の半径

(4) 各惑星の物理的特性と大気や温度の比較

特性	金星	地球	火星
全質量 ($10^{27} kg$)	5	6	0.6
半径 (km)	6049	6371	3390
大気の質量 (割合)	100	1	0.06
表面気圧 (atm)	90	1	0.008
太陽からの距離 ($10^6 km$)	108	150	228
太陽定数 (W/cm ²)	2613	1380	589
アルベド (%)	75	30	15
雲量 (%)	100	50	変動する
有効放射温度 (°C)	-39	-18	-56
表面温度 (°C)	427	15	-53
温室効果による温度上昇 (°C)	446	33	3
$N_2(\%)$	<2	78	<2.5
$O_2(\%)$	<1 ppmv	21	<0.25
$CO_2(\%)$	>98	0.035	>96
$H_2O(\%)$	$1 \times 10^{-4} \sim 0.3$	$3 \times 10^{-4} \sim 4$	<0.001
$SO_2(\%)$	150 ppmv	<1 ppbv	0
Ar(%)	-	0.9	1.6
雲の組成	H_2SO_4	H_2O	塵, H_2O , CO_2

太陽定数: 太陽からの入射エネルギー量 → 太陽からの距離に依存。

有効放射温度: 宇宙から見た時の地球の温度: (入射エネルギー)-(放射時の大気による吸収)-(入射時の大気による吸収: 温室効果)

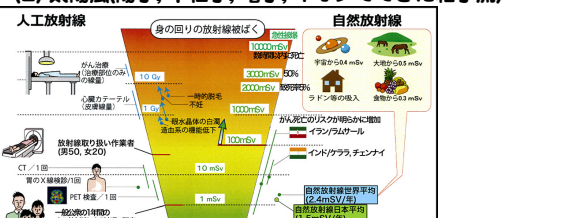
(2) 太陽風(陽子, 中性子, 電子, イオンでできた粒子流)

太陽風	エネルギー	発生源
弾丸	km/s	(eV)
	0.6	
低速太陽風	300	1~20 (e-) 700 (e-) (磁気活動が強い)
高速太陽風	750	30 (e-) 内部コロナや遷移層、コロナホール (磁気活動が弱い、太陽風が飛出しやすい)
最速太陽風	900	
光	300000	

地球上に降り注ぐエネルギー粒子

太陽風	E (eV)	発生源	粒子の種類
太陽風	0.5	光球(5000°C)	陽子、電子
	1	彩層下部(1万°C)	陽子、電子
	10	遷移層(10万°C)	陽子、電子
コロナ質量放出	$10^2 \sim 10^3$	コロナ($10^2 \sim 10^3$ 万°C)	陽子、電子、イオン
太陽フレア	$10^6 \sim 10^7$	太陽フレア($10^6 \sim 10^7$ 万°C)	陽子、電子、イオン
	$>10^8$	爆発的なフレアやコロナ質量放出が太陽風を引き離す際の衝撃波	陽子、電子、イオン
銀河宇宙線	$3 \times 10^8 \sim 10^{20}$	銀河、超新星爆発	陽子、電子、イオン

(2) 太陽風(陽子, 中性子, 電子, イオンでできた粒子流)



太陽について

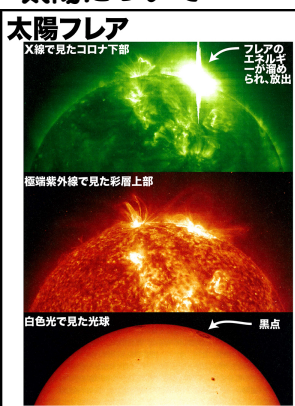
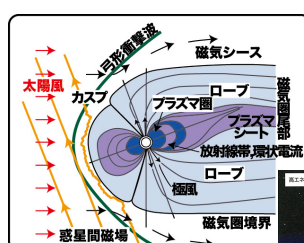
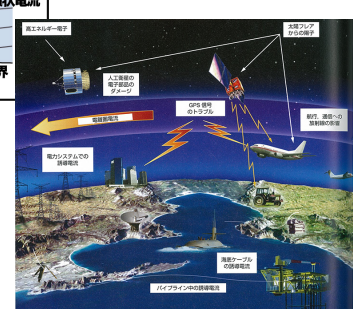


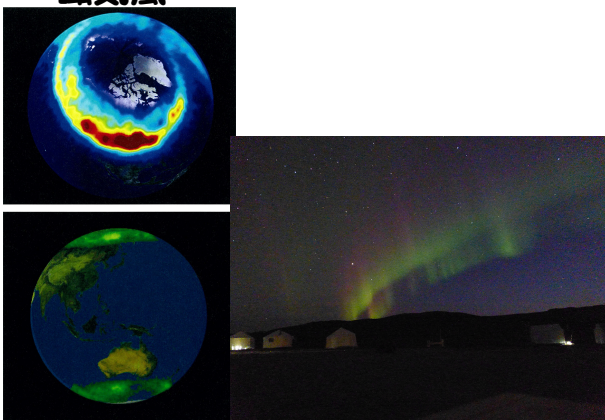
図 2 フレアから地球空間に飛び出すプラズマ (思恩・丸橋編 2000, 60 頁から引用)



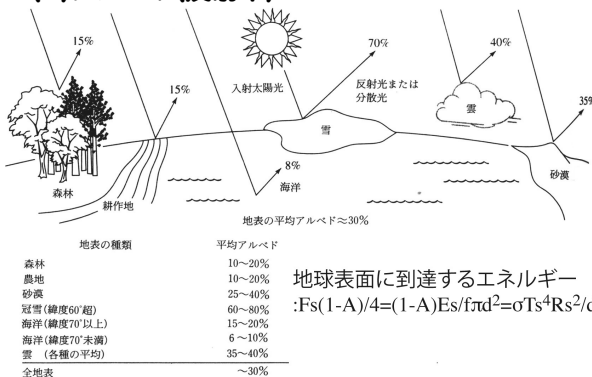
液体金属核と地球磁気圏と太陽風(宇宙線)



磁気嵐

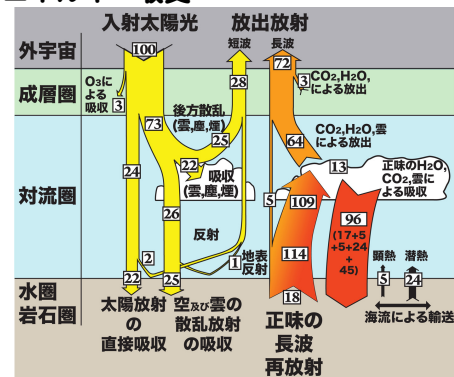


(3)アルベド(反射率)

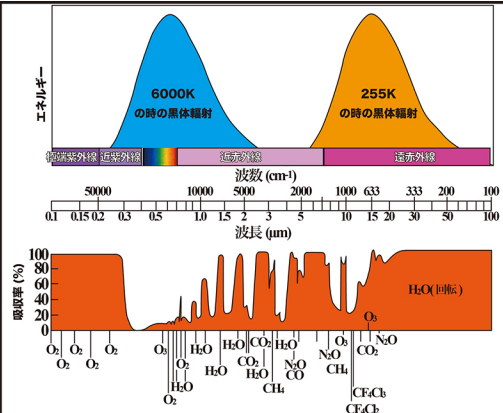


(3)エネルギー収支と地球大気

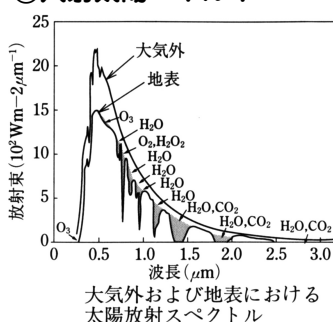
①エネルギー収支



③太陽入射と地球放射エネルギーのまとめ



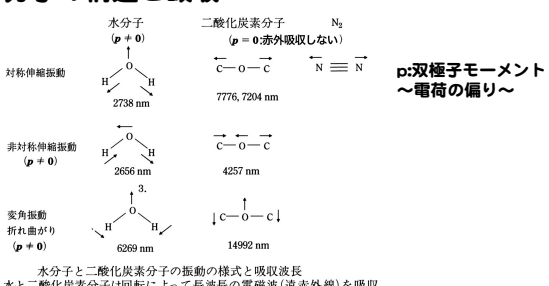
②入射太陽エネルギー



太陽放射スペクトル
大気外~6000Kの黒体
輻射スペクトルに近似
地 表
300mm以下:O₃, O₂, H
などによって完全に吸収
300~700mm:O₃などに
より一部吸収
700mm以上:H₂OやCO₂
により一部の波長で完全
吸収

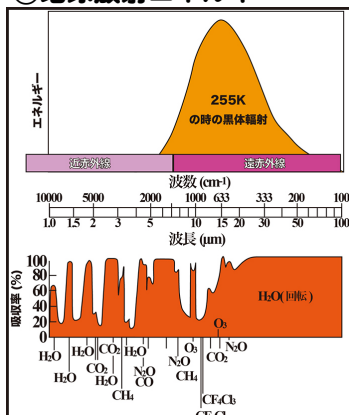
吸収:放射エネルギーを熱
エネルギーへ→加熱

②分子の構造と吸収



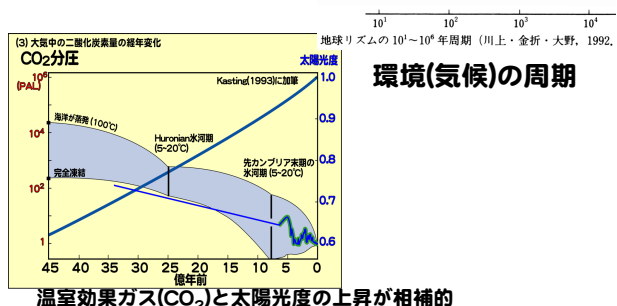
水分子と二酸化炭素分子の振動の様式と吸収波長
水分子と二酸化炭素分子は回転によって長波長の電磁波(遠赤外線)を吸収
温室効果ガスの特徴(赤外線をよく吸収する分子)
①極性のある分子(ΔQ :極性の大きさ, $\times(N_2$ や O_2))
②振動により結合長が変化(Δq :結合長の変化量)
赤外線の吸収量: $\delta \mu (= \Delta Q * \Delta q)$ の2乗に比例

②地球放射エネルギー

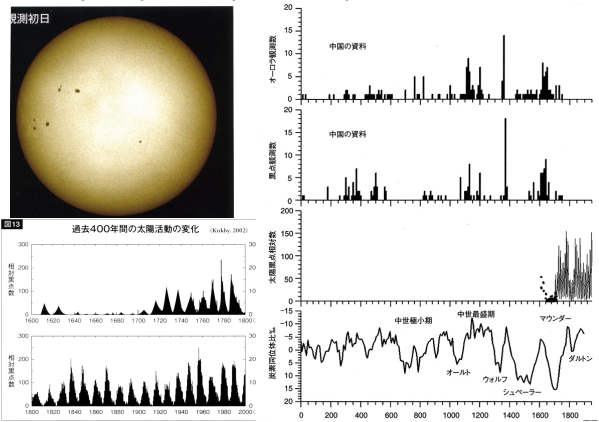


太陽の変動

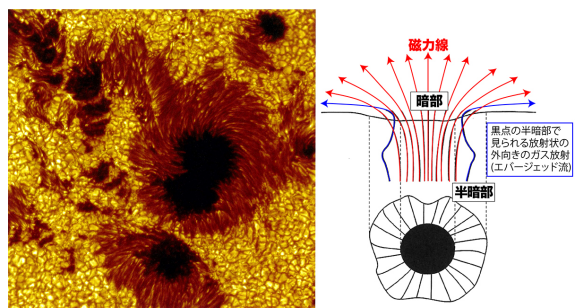
- (1)太陽光度の上昇
- (2)太陽周期
(長周期: 2500年, 200年...)
(短周期: 11年)



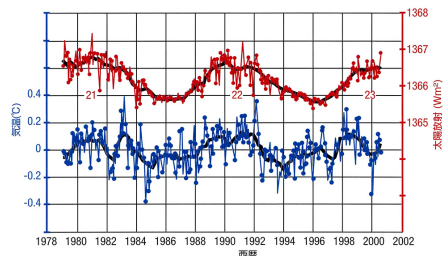
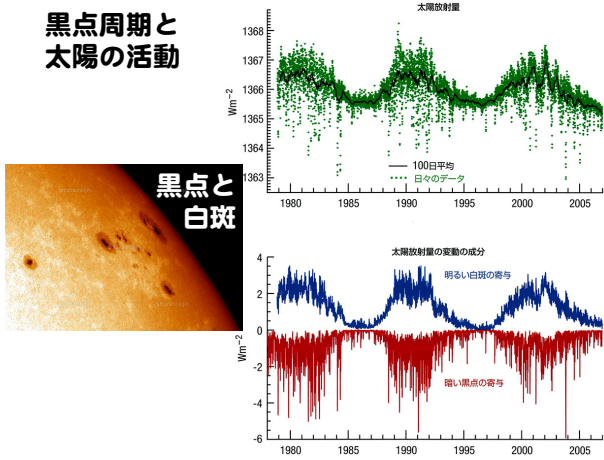
環境(気候)の周期(太陽活動)



環境(気候)の周期



黒点周期と太陽の活動



太陽放射量と気温(火山等の影響、全体的な温度上昇を除く)

(1) 黒点周期(太陽放射量と良い相関) ただし、絶対量があわない。
0.1%→0.06°Cの変動。(実際は0.12°C変動)

